

IV-67 軟弱粘性土におけるタワミ性舗装の厚さ設計について

九州大学工学部 正員 山内豊聰
九州大学工学部 正員 ○巻内勝彦

1 まえがき タワミ性舗装の設計法は現在アスファルト舗装要綱や多層構造法が普及する方向にある。これには舗装各層の質すなわち層構成の重要性は強調されているが、路床による破壊が応力によるのかあるいは変形によるのかなどの基本的問題の解明は充分なされていとはいいがたい。現実には上記の設計法が対象とする路床条件よりかなり悪い地帯へ舗装する場合が多く、しかも交通量は日増しに増加している状況でありこれに対処できる合理的な設計法はまだ確立していないといえよう。本文では粘性土路床について、すでに実績が認められている最大せん断応力法(T_{max} 法)ならびにCBR法とたわみ変形を破壊規準とする限界たわみ設計法との両者の適応範囲、定性的傾向などを比較検討した。その結果これらの設計曲線の計算から軟弱路床では路床のせん断応力法よりたわみ変形の方が重要性を帯びることがわかった。

2 タワミ性舗装厚の算定式

2-1 路体内のせん断応力分布計算による方法(T_{max} 法, CBR法)

Boussinesqの式による最大せん断応力法が半理論的設計法としてよく知られている。 $T_{max}/p = (3H/a)/[1+(H/a)^2]^{3/2}$ ----- (1) ただし $H/a \geq 0.707$, H : 舗装厚, a : 輪荷重半径。この式は理論的にみると舗装本来の応力分散効果を考えていないので不合理であるが、粘性土にはよく合致するといわれている。また CBR法に類似するところから経験公式

の一種みなせよう。CBR法は実用性が高く評価されておりその設計曲線を数式化(Arlvin)すると,
 $H/a = [(\pi \cdot p)/(115 CBR) - 1]^{1/2}$ ----- (2) である。土の粘着力を C (kg/cm^2) として、(1)式に $T_{max} = C$, (2)式に $C = 0.11 CBR$ とおいた計算曲線を各々図-2に示すと(A), (B)曲線), $H/a \geq 2$ で両式は一致する。

CBR設計の原曲線は $CBR \geq 3$ に適用するもので 3以下の軟弱路床 すなわち輪荷重接地圧が平均 $p = 6 \text{ kg/cm}^2$ (ほぼ 5~7 kg/cm^2 の範囲) と考えられるので $P_c \geq \frac{6}{0.11 \times 3} = 18$ に外挿することについては適応性を欠く恐れがある (As要綱には CBR=1.5まで曲線がある)。

2-2 軟弱地盤の支持力公式

軟弱地盤に対して上記のせん断応力法の拡張曲線を検討するため極限支持力公式を利用してみる。Wilson & Tschebotarioff³⁾は長方形基礎(巾 B , 長さ L , 深さ H)に対して次式を示している。 $p' = 5.53C[1 + 0.38H/B + 0.44B/L]$ ----- (3) 輪荷重は深さ H で長方形に等価な円形面(半径 a')に分布するものと仮定すれば $B = L = 1.78a'$, 支持力(p')は面の形状の影響で約 15% 減少する。さらに均質と考へても応力分散はあるのでこれを加味して (3) 式を修正すると,
 $f_2(p'/c) = 6.765 + 0.892(H/a) \cdot f_1$ ----- (4) ここで $f_1 = 3/a'$, $f_2 = f_1^2$ は図-1に示す応力分散の影響係数である。同じく Skempton の式 $p' = 5C(1 + 0.2H/a)(1 + 0.2B/L)$ ----- (5) を修正すると,
 $f_2(p'/c) = 5.1 + 0.51(H/a) \cdot f_1$ ----- (6) となる。(4), (6)式を各自安全率 3.6, 2.7 で除して許容支持力(⑥曲線)を得ると図-2の④, ⑥曲線およびその延長線に重なる。これは静的荷重である建築などに妥当な安全率とされている 3 に近似していく意味深い。

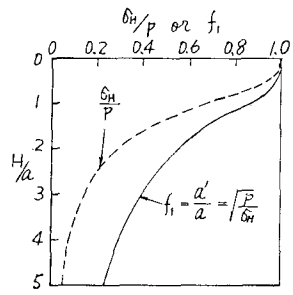


図-1 舗装厚 H/a と比応力 ϕ_H/p および f_1 の関係

2-3 限界たわみに基づく方法 鋪装材料は下層のたわみに追従して変形するが、繰返し輪荷重を受けるときある一定たわみ量以上では容易に疲労破壊に至ることから、路床面以上のたわみ量を許容値以内におさめねばならない。計算式は $\Delta H = (1.5 P_a / E_s) [1 + (H/a)^2 (E_p/E_s)^{3/2}]^{-1/2}$ --- (7) ただし E_p アソン比一定, E_p は路床面上の平均変形係数である。乱さない粘性土の C と E_s の関係を $E_s = f_c \cdot C$ とおいて上式を変形すると $P_c/C = (f_c/1.5) (\Delta H/a) [(H/a)^2 (E_p/E_s)^{3/2} + 1]^{1/2}$ --- (8) 大体 $\Delta H = 0.125 \sim 0.5$, $a = 10 \sim 20$, $f_c = 50 \sim 200$ の範囲にある。例として図-2に $E_p/E_s = 10$ の場合を示す。 $f_c \Delta H / 1.5 a$ は層厚増加とともに 3.3 ~ 1.0 の間(図中点線)を変わるので、その漸変曲線④が設計曲線となる。

3 複合設計曲線の考察と結果 図-2において路床応力に基づく方法④と鉛直たわみによる方法①の両者の安全側をとり複合させると④-①曲線のハッキした領域を得る。これを設計曲線と考えることができる。普通の路床(P_c が小)では CBR 曲線を用い、軟弱地盤になるにつれて路床応力ではなく変形沈下を主体とする①曲線に移行する。すなはち①曲線は全般せん断破壊に相当するが、軟弱路床上の舗装(②曲線)では局部的進行性破壊に起因しやすいと考え得る。①曲線をみると単に増厚だけによる支持力増大は余り期待できないことがわかる。①は E_p/E_s により変わるので図-3にいくつか示しておくが、軟弱路床上の舗装には路床面以上の剛性を大きくし($D_{100} \rightarrow D_{10}$)、たわみ変位を小さくする工夫が必要となることを意味している。次に A_s 要調の基本設計式 $H = 58.5 P^{0.4} / CBR^{0.6}$ --- (9), $T_A = 12.5 P^{0.64} / CBR^{0.3}$ --- (10) ここで T_A は舗装全厚を加熱アスコンで設計するときの必要厚(m)。を用いて 2-1と同じ方法で $P_c - T_A/a$, $P_c - T_A/a$ 曲線を描くと、輪荷重 $P = 3 \sim 12 t$ では図-3に示すように巾を有する(ただし接地圧 $p = 6 kN/m^2$ で計算した)。(9)式の $P = 12 t$ と①は一致し、 $P = 3 t$ は安全側にあるが、(10)式では逆転して $P = 3 t$ の方が危険側に位置する。これは(10)式が AASHTO のデータ(繰返し 100 万回供用に対する耐久性)から層材料の質の概念を導入している結果によるものであろう。本文では実際の供用性データの裏付けがまだ不足するためこの概念を取り入れることができなかった。

参考文献 1)「アスファルト舗装要綱」道路協会 昭42. 2) 植下「舗装体内的応力分布にもとづく舗装設計法についての考察」第6回日本道路会議論文集 昭36. 3) 石井 誠「チエボタリオフの土質工学」(下巻) 4)「基礎工学ハンドブック」朝倉書店 昭和39. p137

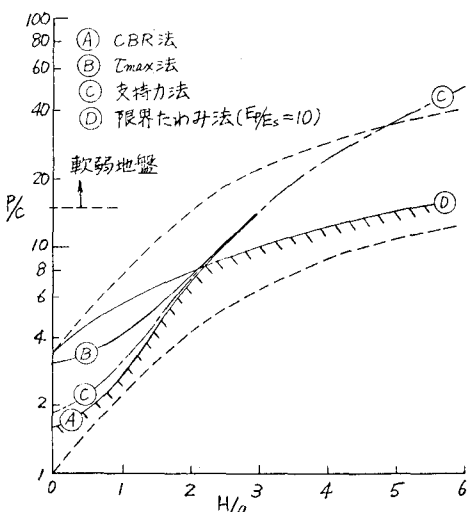


図-2 各種設計法曲線

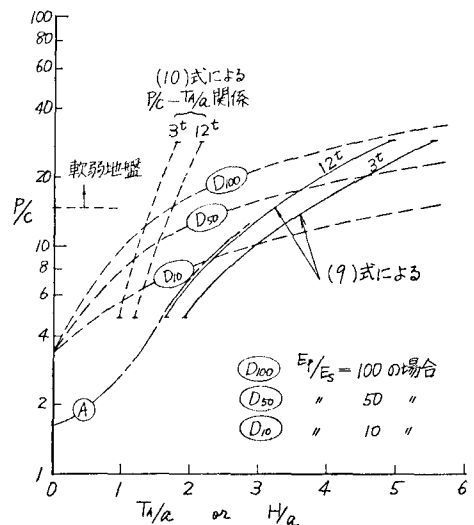


図-3 アスファルト舗装要綱の設計曲線